

КООРДИНАЦИОННЫЕ СОЕДИНЕНИЯ

УДК 546.271

Публикация посвящена 50-летию чл.-корр. РАН К.Ю. Жижина

СИНТЕЗ И КРИСТАЛЛИЧЕСКОЕ СТРОЕНИЕ $(HL)_2[B_{10}Cl_{10}] \cdot 3CH_3CN$ (L = Bipy, Phen)

© 2023 г. В. В. Авдеева^a, * (ORCID: 0000-0002-0655-1052),
А. В. Вологжанина^b (ORCID: 0000-0002-6228-303X), С. Е. Никифорова^a,
Г. А. Бузанов^a, Е. А. Малинина^a, Н. Т. Кузнецов^a

^aИнститут общей и неорганической химии им. Н.С. Курнакова РАН, Ленинский пр-т, 31, Москва, 119991 Россия

^bИнститут элементоорганической химии им. А.Н. Несмиянова РАН, ул. Вавилова, 28, Москва, 119334 Россия

*e-mail: avdeeva.varvara@mail.ru

Поступила в редакцию 13.12.2022 г.

После доработки 27.12.2022 г.

Принята к публикации 28.12.2022 г.

При взаимодействии $(Et_3NH)_2[B_{10}Cl_{10}]$ и органических лигандов 2,2'-бипиридила (Bipy) и 1,10-фенантролина (Phen) в системе ацетонитрил–трифторуксусная кислота получены соединения состава $(HL)_2[B_{10}Cl_{10}] \cdot 3CH_3CN$ (L = Bipy, Phen). Соединения охарактеризованы методами ИК-спектроскопии, элементного и рентгеноструктурного анализа (CCDC 2224377, 2224378). Показано, что в присутствии трифторуксусной кислоты происходит протонирование органических лигандов с образованием солей бипиридилия и фенантролиния, которые стабилизируются декахлор-клизо-декаборатным анионом. Установлено, что катионы участвуют в образовании водородных связей с сольватными молекулами ацетонитрила, тогда как для кластерных анионов бора наблюдаются только слабые взаимодействия C–H...Cl и B–Cl...π.

Ключевые слова: декахлор-клизо-декаборатный анион, бипиридилил, фенантролин, рентгеноструктурный анализ

DOI: 10.31857/S0044457X22602176, **EDN:** UEPURW

ВВЕДЕНИЕ

Кластерные анионы бора $[B_nH_n]^{2-}$ ($n = 10, 12$) [1–3] обладают трехмерной ароматичностью и делокализованной электронной плотностью [4, 5], что позволяет им участвовать в реакциях комплексообразования [6–9] путем замещения концевых атомов водорода на различные функциональные группы [10–14]. Замещенные производные кластерных анионов бора также способны образовывать комплексы с атомами металлов, действуя как лиганда внутренней сферы (за счет координации B–H-групп атомом металла или за счет координации функциональной группы введенного заместителя) или противоионы [15–17].

Реакции комплексообразования с участием кластерных анионов бора $[B_nH_n]^{2-}$ ($n = 10, 12$) и их производных [18–22] могут сопровождаться другими конкурирующими процессами, такими как замещение экзополиэдрических атомов водорода на молекулы растворителей или лигандов [23–26], окислительно-восстановительные реакции с участием кластерных анионов бора и металлов [27–30] и процессы протонирования органических

лигандов в условиях гидролиза катионов металлов [31].

Ранее в работах [31–34] описан синтез и строение солей кластерных анионов бора $[B_nH_n]^{2-}$ ($n = 10, 12$) с протонированными азагетероциклическими лигандами 2,2'-бипиридилом (Bipy), 1,10-фенантролином (Phen), 2,2'-бипиридилином (BPA) и 7-NH₃-4-CH₃-кумарином и показано, что протонирование органических лигандов происходит с образованием катионов HL⁺ или H₂L²⁺ и может протекать в системе ацетонитрил–уксусная кислота либо в водном растворе металлов, которые подвергаются гидролизу по катиону с образованием слабой кислотной среды, что приводит к частично му протонированию лигандов в реакционном растворе и образованию клизо-боратов с протонированными лигандами в качестве побочных продуктов реакций комплексообразования металлов.

В настоящей работе изучен процесс протонирования органических лигандов Bipy и Phen в присутствии декахлор-клизо-декаборатного аниона в системе ацетонитрил–трифторуксусная кислота.

Таблица 1. Кристаллографические данные, параметры эксперимента и уточнения структур I и II

Параметр	I	II
Химическая формула	$(\text{HBipy})_2[\text{B}_{10}\text{Cl}_{10}] \cdot 3\text{CH}_3\text{CN}$	$(\text{HPhen})_2[\text{B}_{10}\text{Cl}_{10}] \cdot 3\text{CH}_3\text{CN}$
FW	900.14	948.18
Сингония, пр. гр., Z	Моноклинная, $P2_1/c$, 4	
$a, \text{\AA}$	10.3031(2)	10.3566(7)
$b, \text{\AA}$	16.7003(3)	16.6602(10)
$c, \text{\AA}$	24.0297(5)	24.2387(15)
$\beta, \text{град}$	100.022(1)	94.533(1)
$V, \text{\AA}^3$	4071.58(14)	4169.1(5)
$d_x, \text{г}/\text{см}^{-3}$	1.468	1.511
$\mu, \text{мм}^{-1}$	0.717	0.705
$F000$	1808	1904
$T, \text{К}$	120.0(2)	
Излучение, $\lambda, \text{\AA}$	$\text{MoK}_\alpha, 0.71073$	
Размер образца, мм	$0.48 \times 0.22 \times 0.19$	$0.38 \times 0.19 \times 0.17$
$\theta_{\max}, \text{град}$	45.489	30.698
Область h, k, l	$-20 < h < 20$ $-33 < k < 32$ $-48 < l < 48$	$-14 < h < 14$ $-23 < k < 23$ $-34 < l < 34$
Число отражений:		
измеренных/независимых (N_1)	361783/34123,	57142/12867,
$R_{\text{int}}/\text{с } I > 2\sigma(I)$ (N_2)	0.0511/23677	0.0534/9833
Метод уточнения	Полноматричный МНК по F^2	
Число уточняемых параметров	481	517
Весовая схема	$w = 1/[\sigma^2(F_o^2) + (0.025P)^2 + 2.0P]$, где $P = (F_o^2 + 2F_c^2)/3$	$w = 1/[\sigma^2(F_o^2) + (0.0320)^2 + 3.0612P]$, где $P = (F_o^2 + 2F_c^2)/3$
Факторы недостоверности:		
wR_2 по N_1	0.0936	0.1039
R_1 по N_2	0.0397	0.0410
S	1.027	1.012
Остаточная электронная плотность	0.952/−0.797	0.545/−0.277
$\Delta\rho_{\text{max}}/\Delta\rho_{\text{min}}, \text{e}/\text{\AA}^3$		

ЭКСПЕРИМЕНТАЛЬНАЯ ЧАСТЬ

Ацетонитрил (HPLC grade, 99.9%), ледяную трифторуксусную кислоту CF_3COOH (99%), а также твердые реагенты Bipy (99%), Phen (99%) производства Sigma-Aldrich использовали без дополнительной очистки. Соль $(\text{Et}_3\text{NH})_2[\text{B}_{10}\text{H}_{10}]$ получали в результате многостадийного синтеза при взаимодействии декаборана-14 с триэтиламинобораном через стадию образования 1,6-бис(триэтиламин)декаборана [35], соединение $(\text{Et}_3\text{NH})_2[\text{B}_{10}\text{Cl}_{10}]$ – хлорированием $(\text{Et}_3\text{NH})_2[\text{B}_{10}\text{H}_{10}]$ в водном растворе по методике [36].

Синтез $(\text{HL})_2[\text{B}_{10}\text{Cl}_{10}] \cdot 3\text{CH}_3\text{CN}$ (L = Bipy (I), Phen (II)). К раствору $(\text{Et}_3\text{NH})_2[\text{B}_{10}\text{Cl}_{10}]$ (0.5 ммоль) в ацетонитриле (10 мл) добавляли раствор L (1 ммоль) в том же растворителе (10 мл). К полученным реакционным смесям по каплям добавляли ледяную трифторуксусную кислоту CF_3COOH (5 мл). Реакционную смесь оставляли при комнатной тем-

пературе в стакане, накрытом часовым стеклом. Через 48 ч наблюдали образование бесцветных кристаллов I · 3H₂O или II · 3H₂O, которые отфильтровывали, промывали ацетонитрилом (2 × 5 мл) и высушивали на воздухе. Выход составил 78% для I и 81% для II.

	C	H	N	B
Найдено, %:	30.8;	2.2;	7.3;	13.8.
Для C ₂₀ H ₁₈ N ₄ B ₁₀ Cl ₁₀				
(I) вычислено, %:	30.91;	2.33;	7.21;	13.91.

ИК-спектр (NaCl, cm^{-1}): $\nu(\text{NH})$ 3145 ш; $\nu(\text{CN})$ 2295; $\nu(\text{BCl})$ 1004, 1154; $\nu(\text{Bipy})$ 1600–700; $\pi(\text{CH})$ 761.

	C	H	N	B
Найдено, %:	34.8;	2.1;	6.6;	12.9.
Для C ₂₄ H ₁₈ N ₄ B ₁₀ Cl ₁₀				
(II) вычислено, %:	34.94;	2.20;	6.79;	13.10.

ИК-спектр (NaCl , cm^{-1}): $\nu(\text{NH})$ 3110 ш; $\nu(\text{CN})$ 2305; $\nu(\text{BCl})$ 1004, 1155; $\nu(\text{Bipy})$ 1600–700; $\pi(\text{CH})$ 761.

Элементный анализ на углерод, водород и азот проводили на автоматическом газовом анализаторе CHNS-3 FA 1108 Elemental Analyser (Carlo Erba), содержание бора определяли методом ICP MS на атомно-эмиссионном спектрометре iCAP 6300 Duo с индуктивно связанный плазмой. Перед проведением экспериментов образцы высушивали до постоянной массы.

ИК-спектры синтезированных комплексов записывали на ИК-Фурье-спектрометре ИНФРАЛЮМ ФТ-02 (НПФ АП “Люмэкс”) в области 4000–600 cm^{-1} с разрешением 1 cm^{-1} . Образцы готовили в виде суспензии исследуемого вещества в вазелиновом масле (Aldrich).

Рентгенодифракционные эксперименты выполнены на автоматическом дифрактометре с двумерным детектором Bruker Smart 1000 при 120.0(2) К. Параметры элементарной ячейки уточнены по всему массиву данных [37]. В экспериментально определенные значения интенсивности рефлексов внесены поправки на поглощение с использованием программы SADABS [38]. Структуры расшифрованы методом сопряженного пространства, реализованным в программе SHELXT [39], и уточнены полноматричным методом наименьших квадратов SHELXL-2014 [40] по F^2 по всем данным в анизотропном приближении для всех неводородных атомов. Атомы H(N) определены на картах разностной электронной плотности, а ато-

мы водорода H(C) помещены в геометрически рассчитанные позиции и уточнены в модели “наездника” с изотропными тепловыми параметрами, равными $U_{\text{изо}} = 1.5U_{\text{экв}}(\text{C})$ для метильных групп и $1.2U_{\text{экв}}(\text{X})$ для остальных атомов, где $U_{\text{экв}}(\text{X})$ – эквивалентные изотропные тепловые параметры атомов, связанных с атомом водорода.

Параметры рентгеноструктурного эксперимента и окончательные значения факторов недостоверности для кристаллов I и II приведены в табл. 1. Координаты атомов и значения температурных параметров депонированы в Кембриджском банке кристаллографических данных под номерами CCDC 2224377 и 2224378 для I и II соответственно.

Рентгенофазовый анализ проводили на рентгеновском дифрактометре Bruker D8 Advance в ЦКП ИОНХ РАН ($\text{Cu}K_{\alpha}$ -излучение) в низкофонаевых кюветах с подложкой из ориентированного монокристалла кремния в интервале углов 2θ 5°–80° с шагом 0.01125°. Для получения дифрактограмм образцы I и II тщательно растирали в агатовой ступке непосредственно перед съемкой.

РЕЗУЛЬТАТЫ И ОБСУЖДЕНИЕ

Синтез целевых соединений проводили в системе ацетонитрил–трифтормускусная кислота с использованием соли $(\text{Et}_3\text{NH})_2[\text{B}_{10}\text{Cl}_{10}]$ и лигандов Bipy и Phen в качестве исходных соединений. Реакции протекали по схеме 1.

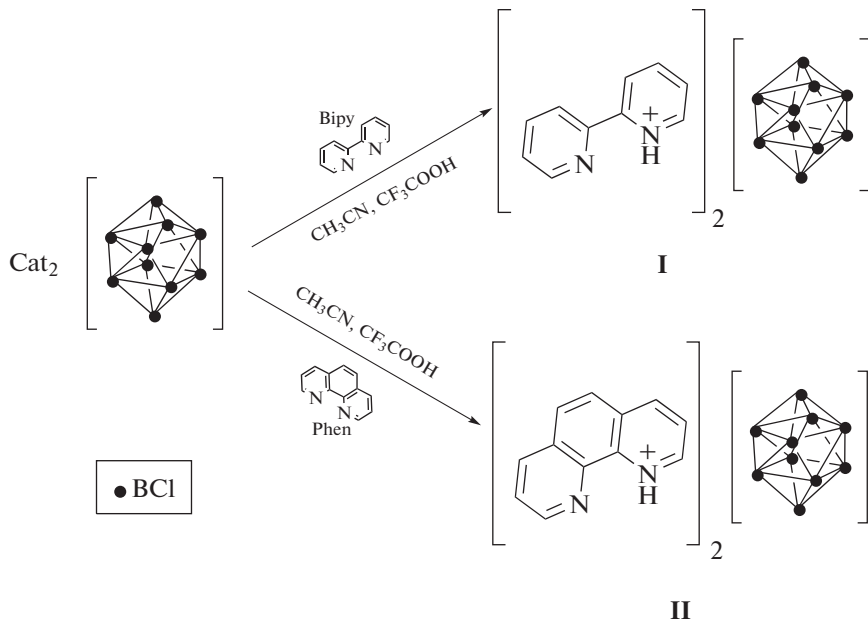


Схема 1. Синтез соединений $(\text{HL})_2[\text{B}_{10}\text{Cl}_{10}]$ ($\text{L} = \text{Bipy}$ (I); Phen (II)).

В ИК-спектрах соединений I, II присутствует уширененная полоса $\nu(\text{NH})$ в области 3100 cm^{-1} , ко-

торая соответствует наличию NH-групп в катионной части соединений, и полосы $\nu(\text{BCl})$ с мак-

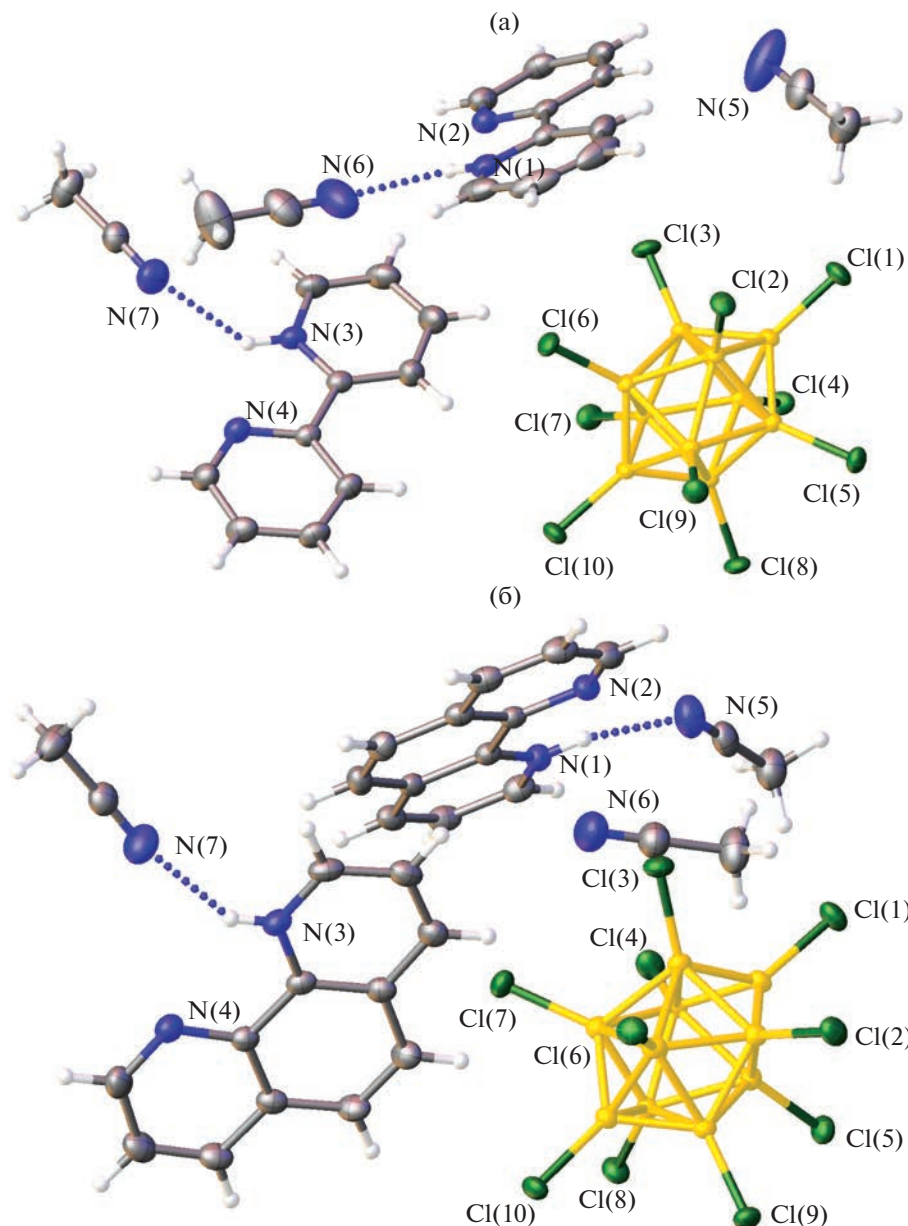


Рис. 1. Молекулярное строение $(\text{Hbipy})_2[\text{B}_{10}\text{Cl}_{10}] \cdot 3\text{CH}_3\text{CN}$ (I) (а) и $(\text{Hphen})_2[\text{B}_{10}\text{Cl}_{10}] \cdot 3\text{CH}_3\text{CN}$ (II) (б) в представлении атомов эллипсоидами температурных смещений ($\rho = 50\%$). Водородные связи изображены пунктиром.

симумами при 1155 и 1005 cm^{-1} , связанные с наличием перхлорированного кластера в составе соединений. Кроме того, в спектрах кристаллов $(\text{HL})_2[\text{B}_{10}\text{Cl}_{10}] \cdot 3\text{CH}_3\text{CN}$ (I, II) присутствуют полосы колебаний $\nu(\text{CN})$ молекул ацетонитрила при 2300 cm^{-1} .

Согласно результатам рентгеноструктурного анализа, соединения I и II изоструктурны (табл. 1). Независимая часть ячейки содержит один декахлор-клизо-декаборатный анион, два катиона HL^+ ($\text{L} = \text{Bipy, Phen}$) и три молекулы ацетонитрила

(рис. 1). Положение всех атомов водорода, включая $\text{H}(\text{N})$, может быть локализовано на картах электронной плотности, это однозначно позволит установить, какие атомы участвуют в образовании водородных связей (табл. 2). В отличие от анионов $[\text{B}_{10}\text{H}_{12}]^{2-}$ и $[\text{B}_{12}\text{H}_{12}]^{2-}$, склонных к образованию диводородных связей с участием протонированных гетероциклических органических катионов [31], в структурах I и II катионы участвуют в образовании водородных связей с сольватными молекулами ацетонитрила, тогда как для анионов наблюдаются только слабые взаимодействия $\text{C}-\text{H} \dots \text{Cl}$.

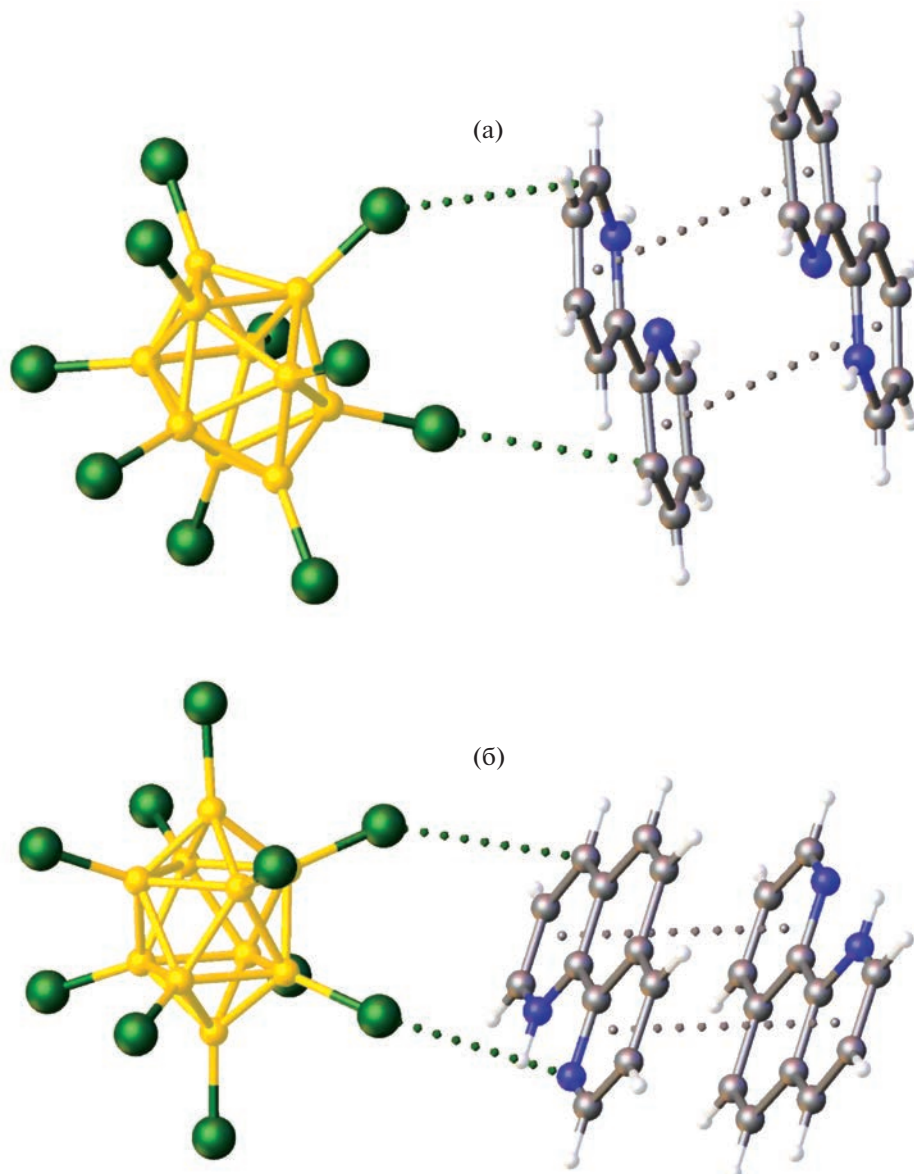


Рис. 2. Фрагменты кристаллической структуры I (а) и II (б), связанные между собой B—Cl... π - и π ... π -взаимодействиями (изображены пунктиром).

Несмотря на отсутствие прочных межмолекулярных взаимодействий, анионы в структурах I и II полностью упорядочены. Длины связей C—Cl с апикальными атомами бора (1.782(1)—1.784(1) Å в

структуре I и 1.777(2)—1.781(2) Å в структуре II) укорочены по сравнению с экваториальными атомами (в среднем 1.800 и 1.796 Å). Разница в длинах связей борсодержащего кластера еще бо-

Таблица 2. Основные геометрические параметры водородных связей в структурах I и II

D—H...A	Расстояние, Å			Угол DHA, град
	D—H	H...A	D...A	
(HBipy) ₂ [B ₁₀ Cl ₁₀] · 3CH ₃ CN (I)				
N(1)—H(1)...N(6)	0.88	2.173	2.934(2)	145
N(3)—H(3a)...N(7)	0.88	2.179	2.876(2)	136
(HPhen) ₂ [B ₁₀ Cl ₁₀] · 3CH ₃ CN (II)				
N(1)—H(1)...N(5)	0.88	2.152	2.878(3)	142
N(3)—H(3a)...N(7)	0.88	2.033	2.800(3)	145

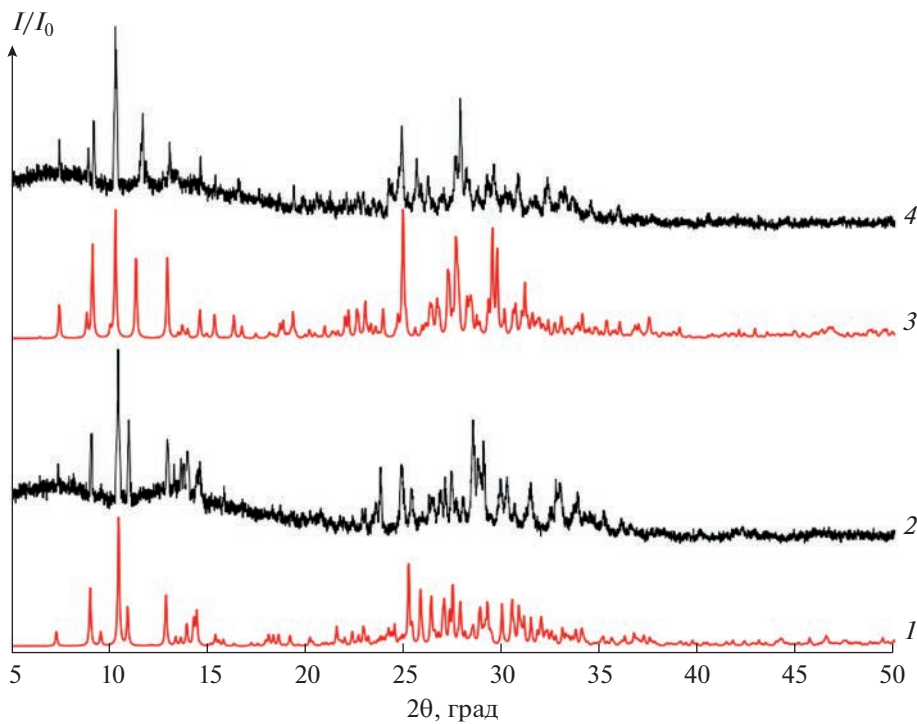


Рис. 3. Экспериментальные (2, 4) и рассчитанные (1, 3) дифрактограммы соединений I (3, 4) и II (1, 2).

лее выражена: длины связей В–В с участием апикальных атомов бора составляют в среднем 1.688 и 1.683 Å, тогда как длины связей между экваториальными атомами изменяются от 1.827 до 1.847 Å и от 1.816 до 1.845 Å.

Присутствие в солях I и II в качестве катионов гетероциклических органических катионов позволяет реализовать стекинг-взаимодействие между ними. Действительно, в структурах этих соединений можно обнаружить антипараллельно расположенные катионы (рис. 2). В структуре I ближайшие атомы азота и углерода находятся на расстояниях 3.342(1) и 3.716 Å, а межплоскостное расстояние составляет 3.341(1)–3.541(4) Å. В структуре II аналогичные величины составляют 3.496–3.590(1) Å и 3.294(1)–3.432(1) Å. Можно предположить, что помимо слабых водородных связей С–Н...Cl анионы участвуют в образовании контактов В–Cl...π, в которых σ-дырки экваториальных атомов галогена, расположенные на продолжении связей В–Cl, находятся над плоскостью гетероциклических фрагментов катиона.

На основании данных РФА можно предположить однородность полученных образцов (рис. 3).

В работах [31–33] получены соли клозо-декаборатного и клозо-додекаборатного анионов, которые содержат моно- и дипротонированные молекулы Bipy (соединения $(BipyH)_2[B_{10}H_{10}]$, $(BipyH_2)[B_{10}H_{10}]$) и BPA (соединение $(HBPA)_2(H_2BPA)[B_{10}H_{10}]_2$), тогда как для Phen

выделены соли $(PhenH)_2[B_{10}H_{10}]$ и $(PhenH)_2[B_{12}H_{12}]$ в системе ацетонитрил–трифторуксусная кислота и $(PhenH)_2(Phen)[B_{10}H_{10}]$, полученное в ходе реакции комплексообразования кобальта в воде в качестве второго продукта после образования *трис*-хелатного комплекса $[Co(Bipy)_3][B_{10}H_{10}]$. Полученные данные указывают на меньшую склонность молекулы фенантролина к протонированию и выведению полученного катиона из реакционного раствора при стабилизации кластерным анионом бора по сравнению с Bipy и BPA. В настоящей работе соединения, содержащие дипротонированные лиганды, не получены. Вероятно, они образуются в реакционном растворе, однако наименее растворимыми соединениями оказываются монопротонированные соли Bipy и Phen с декахлор-клозо-декаборатным анионом.

Отметим, что протонирование лигандов Bipy и Phen наблюдалось в ходе реакций комплексообразования меди(II), кобальта(II) и редкоземельных металлов в присутствии других анионов [41–46].

Таким образом, в настоящей работе изучен процесс протонирования органических лигандов Bipy и Phen в системе ацетонитрил–трифторуксусная кислота в присутствии декахлор-клозо-декаборатного аниона. Выделены и исследованы, в том числе методом PCA, соли $(HL)_2[B_{10}Cl_{10}]$ ($L = Bipy$ (I), $Phen$ (II)). В структурах соединений имеются водородные связи между катионами и сольватными молекулами ацетонитрила, а также слабые взаи-

модействия C—H...Cl и B—Cl...π между кластерными анионами бора и органическими катионами.

БЛАГОДАРНОСТЬ

Авторы статьи выражают благодарность А.Ф. Смолякову (ИНЭОС РАН) за проведение рентгеноструктурных исследований.

ФИНАНСИРОВАНИЕ

РСА соединений проведен в рамках государственного задания № 075-00697-22-00 Министерства науки и высшего образования Российской Федерации. Синтез соединений и исследования методом РФА выполнены в рамках госзадания ИОНХ РАН в области фундаментальных научных исследований.

КОНФЛИКТ ИНТЕРЕСОВ

Авторы заявляют, что у них нет конфликта интересов.

СПИСОК ЛИТЕРАТУРЫ

1. Muetterties E.L., Knoth W.H. Polyhedral Boranes. N.Y.: Dekker, 1968.
2. Boron Science: New Technologies and Applications / Ed. Hosmane N.S. CRC Press, 2012.
3. Greenwood N.N., Earnshaw A. Chemistry of the Elements. Butterworth-Heinemann, 1997.
4. King B.R. // Chem. Rev. 2001. V. 101. P. 1119. <https://doi.org/10.1021/cr000442t>
5. Chen Z., King R.B. // Chem. Rev. 2005. V. 105. P. 3613. <https://doi.org/10.1021/cr0300892>
6. Avdeeva V.V., Malinina E.A., Kuznetsov N.T. // Coord. Chem. Rev. 2022. V. 469. P. 214636. <https://doi.org/10.1016/j.ccr.2022.214636>
7. Аведеева В.В., Короленко С.Е., Малинина Е.А., Кузнецлов Н.Т. // Журн. общей химии. 2022. Т. 92. № 3. С. 443.
8. Alexandrova A.N., Boldyrev A.I., Zhai H.J., Wang L.S. // Coord. Chem. Rev. 2006. V. 250. P. 2811. <https://doi.org/10.1039/D2QI00890D>
9. Zhao X., Yang Z., Chen H. et al. // Coord. Chem. Rev. 2021. V. 444. P. 214042. <https://doi.org/10.1016/j.ccr.2021.214042>
10. Сиваев И.Б. // Журн. неорган. химии. 2021. Т. 66. № 9. С. 1192. [Sivaev I.B. // Russ. J. Inorg. Chem. 2021. V. 66. P. 1289.] <https://doi.org/10.1134/S0036023621090151>
11. Nelyubin A.V., Klyukin I.N., Zhdanov A.P. et al. // Russ. J. Inorg. Chem. 2021. V. 66. P. 139. <https://doi.org/10.1134/S0036023621020133>
12. Shmal'ko A.V., Sivaev I.B. // Russ. J. Inorg. Chem. 2019. V. 64. P. 1726. <https://doi.org/10.1134/S0036023619140067>
13. Zhizhin K.Yu., Zhdanov A.P., Kuznetsov N.T. // Russ. J. Inorg. Chem. 2010. V. 55. P. 2089. <https://doi.org/10.1134/S0036023610140019>
14. Sivaev I.B., Prikaznov A.V., Naoufal D. // Collect. Czech. Chem. Commun. 2010. V. 75. P. 1149. <https://doi.org/10.1135/cccc2010054>
15. Avdeeva V.V., Buzanov G.A., Malinina E.A. et al. // Crystals. 2020. V. 10. P. 389. <https://doi.org/10.3390/crust10050389>
16. Avdeeva V.V., Vologzhanina A.V., Ugolkova E.A. et al. // J. Solid State Chem. 2021. V. 296. P. 121989. <https://doi.org/10.1016/j.jssc.2021.121989>
17. Matveev E.Yu., Novikov I.V., Kubasov A.S. et al. // Russ. J. Inorg. Chem. 2021. V. 66. P. 187. <https://doi.org/10.1134/S0036023621020121>
18. Matveev E.Y., Avdeeva V.V., Zhizhin K.Y. et al. // Inorganics. 2022. V. 10. P. 238. <https://doi.org/10.3390/inorganics10120238>
19. Аведеева В.В., Малинина Е.А., Жижин К.Ю., Кузнецлов Н.Т. // Коорд. химия. 2021. Т. 47. № 8. С. 457.
20. Malinina E.A., Korolenko S.E., Zhdanov A.P. et al. // J. Clust. Chem. 2021. V. 32. P. 755. <https://doi.org/10.1007/s10876-020-01840-5>
21. Сиваев И.Б. // Журн. неорган. химии. 2019. Т. 64. № 8. С. 789.
22. Axtell J.C., Saleh L.M.A., Qian E.A. et al. // Inorg. Chem. 2018. V. 57. № 5. P. 2333. <https://doi.org/10.1021/acs.inorgchem.7b02912>
23. Avdeeva V.V., Malinina E.A., Kuznetsov N.T. // Russ. J. Inorg. Chem. 2017. V. 62. P. 1673. <https://doi.org/10.1134/S0036023617130022>
24. Dziova A.E., Avdeeva V.V., Polyakova I.N. et al. // Dokl. Chem. 2011. V. 440. P. 253. <https://doi.org/10.1134/S0012500811090035>
25. Elrington M., Greenwood N.N., Kennedy J.D., Thornton-Pett M. // J. Chem. Soc., Dalton Trans. 1987. V. 2. P. 451. <https://doi.org/10.1039/DT9870000451>
26. Avdeeva V.V., Polyakova I.N., Churakov A.V. et al. // Polyhedron. 2019. V. 162. P. 65. <https://doi.org/10.1016/j.poly.2019.01.051>
27. Avdeeva V.V., Vologzhanina A.V., Goeva L.V. et al. // Z. Anorg. Allg. Chem. 2014. V. 640. P. 2149. <https://doi.org/10.1002/zaac.201400137>
28. Avdeeva V.V., Vologzhanina A.V., Goeva L.V. et al. // Inorg. Chim. Acta. 2015. V. 428. P. 154. <https://doi.org/10.1016/j.ica.2014.12.029>
29. Avdeeva V.V., Dziova A.E., Polyakova I.N. et al. // Polyhedron. 2015. V. 430. P. 74. <https://doi.org/10.1016/j.ica.2015.02.029>
30. Malinina E.A., Kochneva I.K., Polyakova I.N. et al. // Inorg. Chim. Acta. 2018. V. 477. P. 284. <https://doi.org/10.1016/j.ica.2018.03.024>
31. Avdeeva V.V., Vologzhanina A.V., Malinina E.A., Kuznetsov N.T. // Crystals. 2019. V. 9. P. 330. <https://doi.org/10.3390/crust9070330>
32. Chantler C.T., Maslen E.N. // Acta Crystallogr., Sect. B. 1989. V. 45. P. 290.
33. Fuller D.J., Kepert D.L., Skelton B.W., White A.H. // Aust. J. Chem. 1987. V. 40. P. 2097.
34. Goeva L.V., Zhuchkova A.F., Malinina E.A. et al. // Russ. J. Inorg. Chem. 2022. V. 67. P. 1144. <https://doi.org/10.1134/S0036023622080149>

35. *Miller H.C., Miller N.E., Muetterties E.L.* // *J. Am. Chem. Soc.* 1963. V. 85. P. 3885.
36. *Kravchenko E.A., Gippius A.A., Korlyukov A.A. et al.* // *Inorg. Chim. Acta*. 2016. V. 447. P. 22.
<https://doi.org/10.1016/j.ica.2016.03.025>
37. SAINT-Plus (Version 7.68) // Bruker AXS Inc., Madison, Wisconsin, USA. 2007.
38. SADABS. Bruker AXS Inc., Madison, Wisconsin, USA.
39. *Sheldrick G.M.* // *Acta Crystallogr.* 2015. V. 71A. № 1. P. 3.
40. *Sheldrick G.M.* // *Acta Crystallogr.* 2015. V. 71C. № 1. P. 3.
41. *Martsinko E.E., Seifullina I.I., Chebanenko E.A. et al.* // *Russ. J. Coord. Chem.* 2018. V. 44. P. 393.
<https://doi.org/10.1134/S1070328418060039>
42. *Seifullina I.I., Martsinko E.E., Chebanenko E.A. et al.* // *J. Struct. Chem.* 2017. V. 58. P. 532.
<https://doi.org/10.1134/S0022476617030143>
43. *Petrosyants S.P., Ilyukhin A.B.* // *Russ. J. Coord. Chem.* 2014. V. 40. P. 825.
<https://doi.org/10.1134/S107032841410008X>
44. *Yin P., Xue C., Yan Y. et al.* // *Russ. J. Inorg. Chem.* 2022. V. 67. P. 456.
<https://doi.org/10.1134/S0036023622040222>
45. *Chebanenko E.A., Seifullina I.I., Martsinko E.E. et al.* // *Russ. J. Inorg. Chem.* 2019. V. 64. P. 1132.
<https://doi.org/10.1134/S0036023619090043>
46. *Petrosyants S.P., Dobrokhotova Z.V., Ilyukhin A.B. et al.* // *Eur. J. Inorg. Chem.* 2017. V. 2017. № 29. P. 3561.
<https://doi.org/10.1002/ejic.201700537>